

1. X線コントラストバリエーション

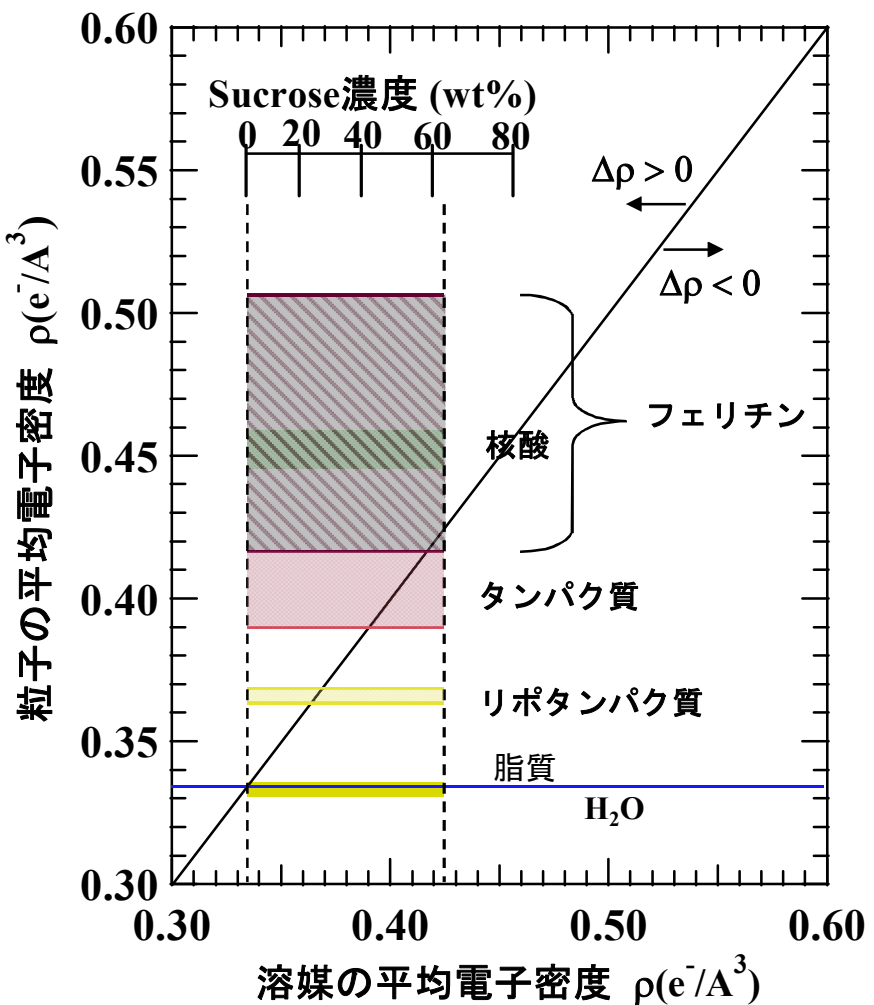
○一般式

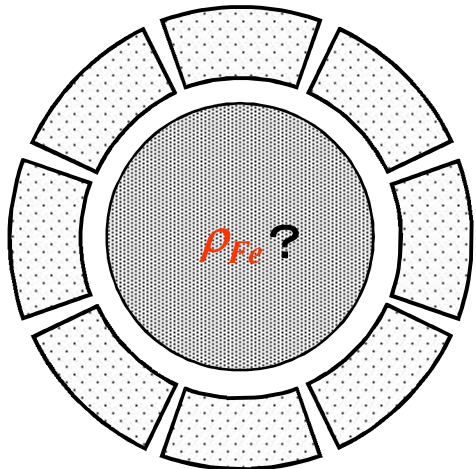
$$I(S) = \Delta\rho^2 I_c(S) + \Delta\rho I_{cs}(S) + I_s(S)$$

$$\Delta\rho = \bar{\rho}_{\text{solute}} - \bar{\rho}_{\text{solvent}}$$

○ 2成分系 (電子密度の差が大きい場合)

$$\begin{aligned} I(S) &= I_{apo}(S) + I_{Fe}(S) \\ &= \Delta\rho_{apo}^2 I_{c,apo}(S) \\ &+ \Delta\rho_{apo} \Delta\rho_{Fe} I_{c,apo \times c,Fe}(S) \\ &+ \Delta\rho_{Fe}^2 I_{c,Fe}(S) \end{aligned}$$





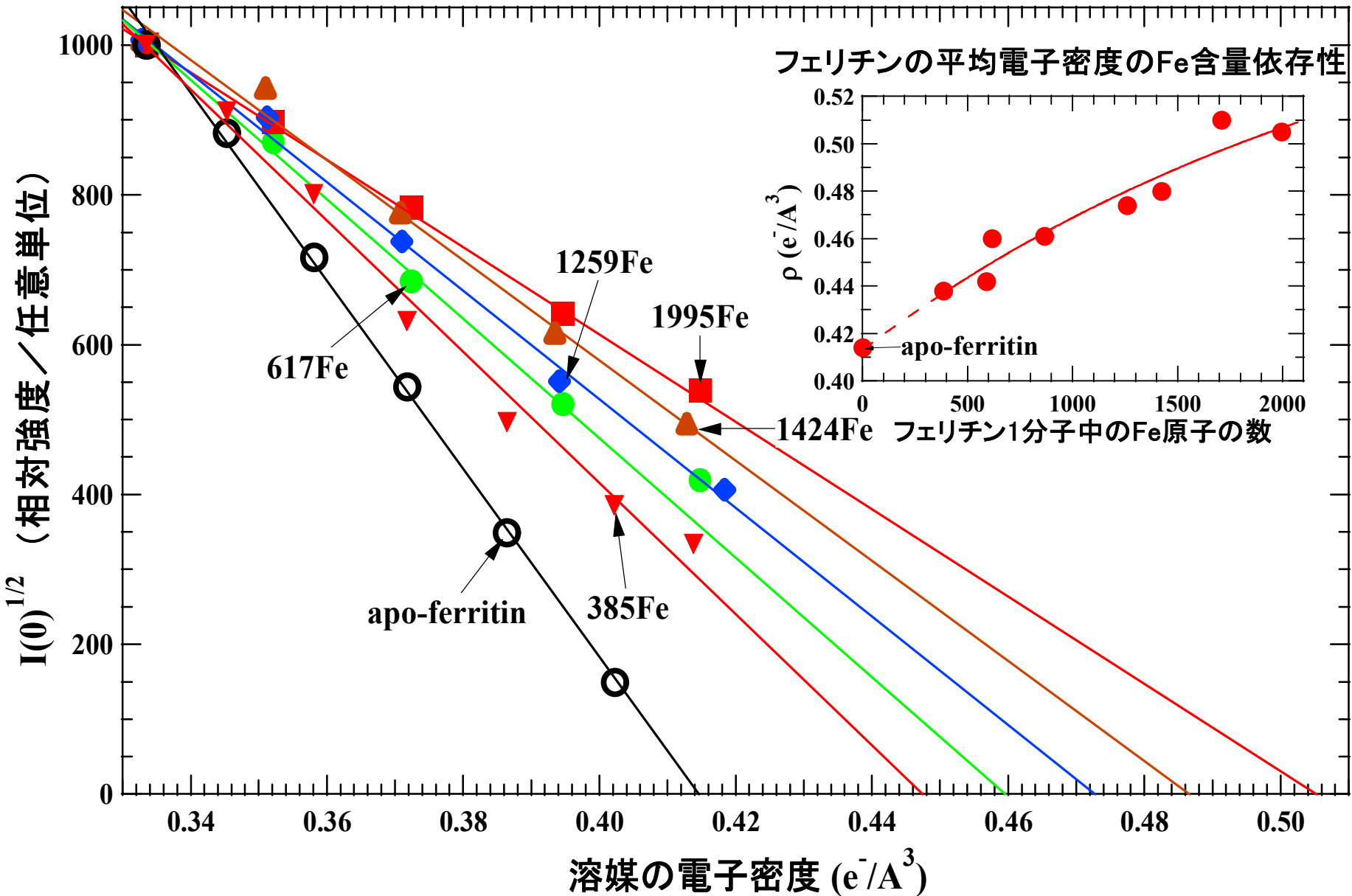
フェリチン	:	ρ_{ftn}	, V_{ftn} , M_{ftn} ;	R_{ftn}
アポフェリチン	:	ρ_{apo}	, V_{apo} , M_{apo} ;	R_{apo}
鉄コア	:	ρ_{Fe}	, V_{Fe} , M_{Fe} ;	R_{Fe}

$$R_{ftn}^2 = f_1 R_{apo}^2 + f_2 R_{Fe}^2 + f_1 f_2 d^2 \quad \left(f_1 = \frac{M_{apo}}{M_{apo} + M_{Fe}}, \quad f_2 = \frac{M_{Fe}}{M_{apo} + M_{Fe}} \right)$$

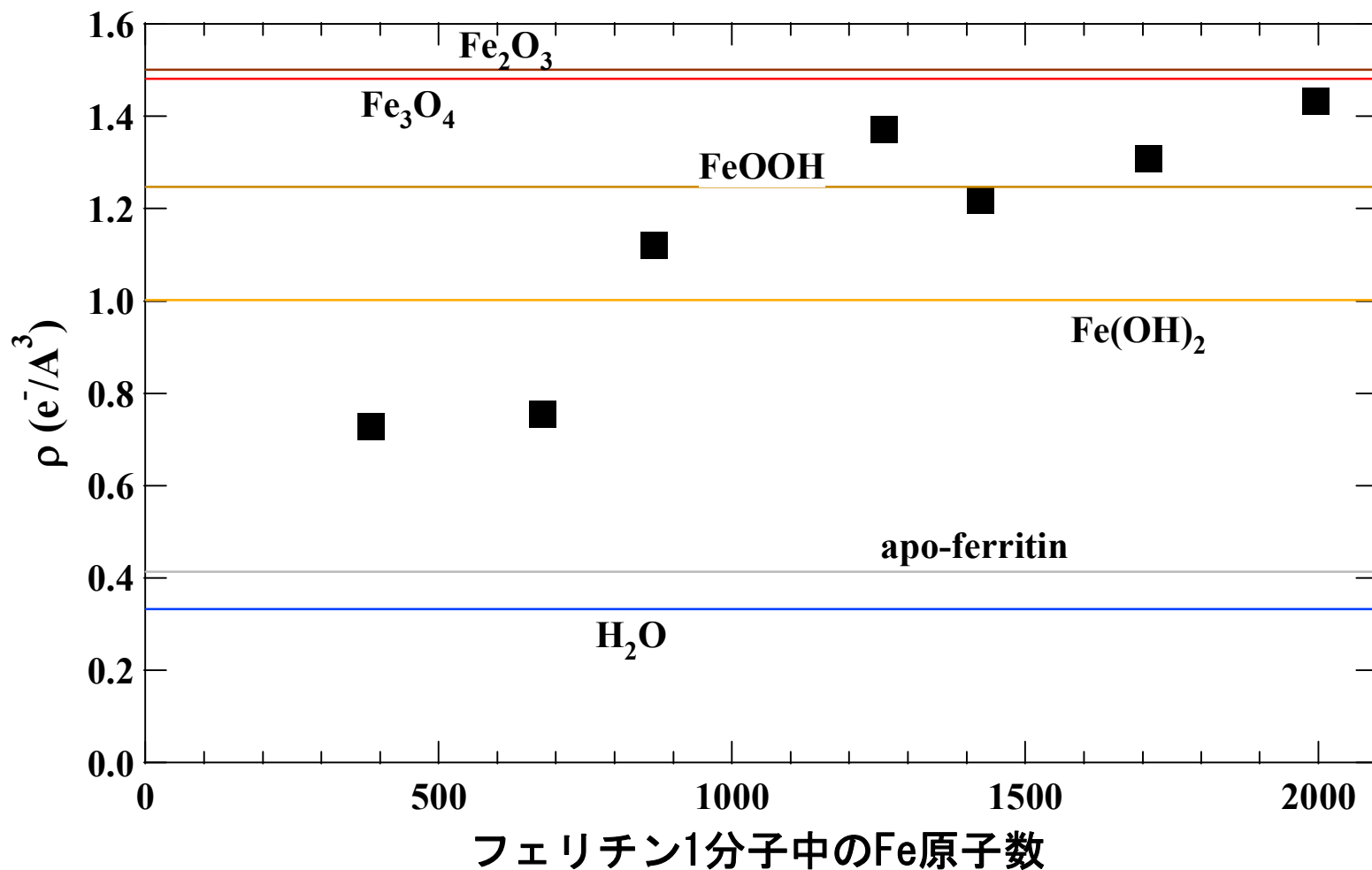
$$R_{ftn}^2 = \frac{M_{apo}}{M_{apo} + M_{Fe}} R_{apo}^2 + \frac{M_{Fe}}{M_{apo} + M_{Fe}} R_{apo}^2$$

$$\left. \begin{aligned} \alpha &= \frac{R_{apo}^2 - R_{ftn}^2}{R_{ftn}^2 - R_{Fe}^2} = \frac{M_{Fe}}{M_{apo}} = \frac{\rho_{Fe} V_{Fe}}{\rho_{apo} V_{apo}} \\ \rho_{ftn} &= \frac{\rho_{apo} V_{apo} + \rho_{Fe} V_{Fe}}{V_{apo} + V_{Fe}} \end{aligned} \right\} \rightarrow \rho_{Fe} = \frac{\alpha \rho_{apo} \rho_{ftn}}{(1+\alpha) \rho_{apo} - \rho_{ftn}}$$

Fe含量の異なるフェリチンに対する平均電子密度測定



鉄コアの平均電子密度のFe含量依存性

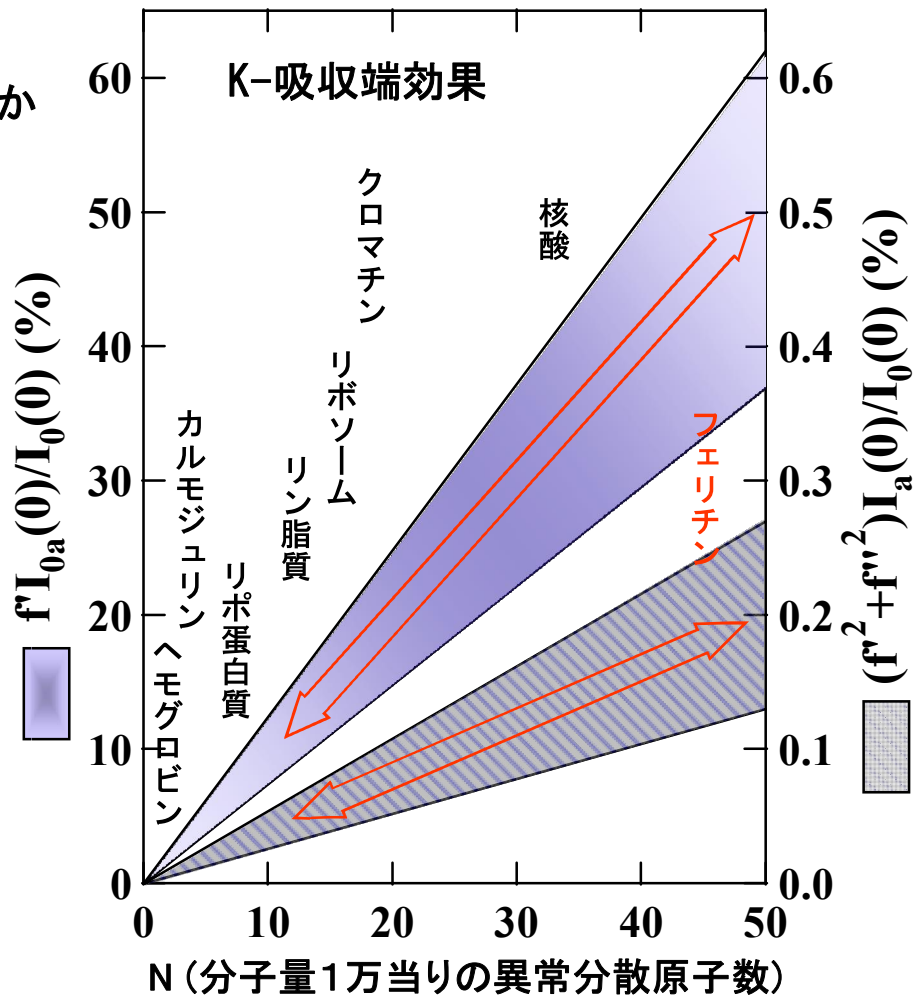


2. 異常X線小角散乱 (Anomalous Small-angle X-ray Scattering)

- どの程度の異常分散の効果が期待できるか
- 生体高分子が天然に含む元素はその利用がK吸収端にある。

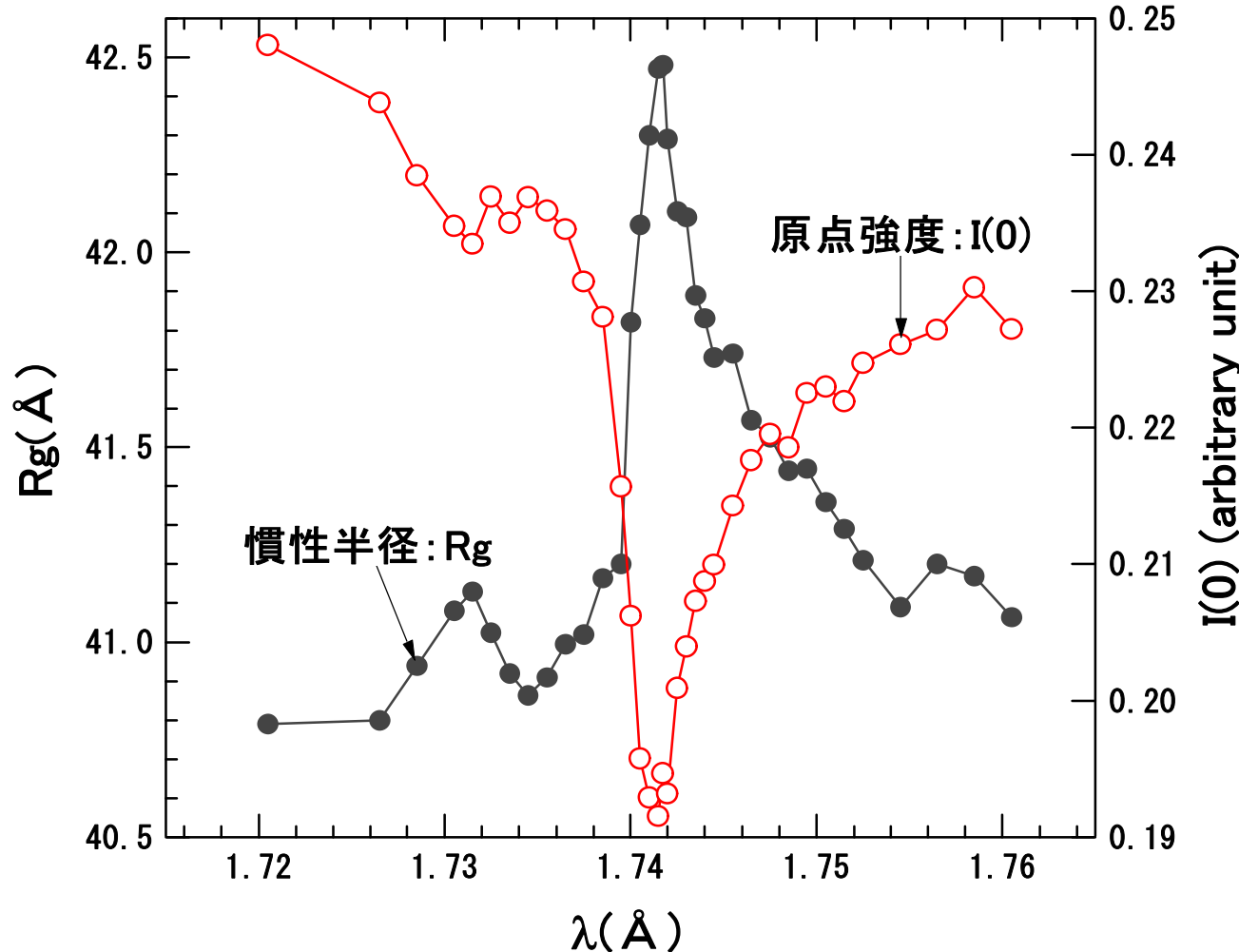
Z	6	7	8	12	15	16	17	20	26	29	31	34
元素	C	N	O	Mg	P	S	Cl	Ca	Fe	Cu	Ga	Se
L _{III} 吸収端				35	37			53	55	63	65	68
Br Rb						I Cs Eu Tb Er Hg						80
遠い将来				近い将来・現在				現在・過去				

$$I(\lambda, S) = I_0(S) + f'(\lambda)I_{0a}(S) + (f'^2(\lambda) + f''^2(\lambda))I_a(S)$$



慣性半径および原点散乱強度のf'依存性

約1300個の Fe^{2+} を含むフェリチン溶液(0.2%)のanomalous SAXSの場合

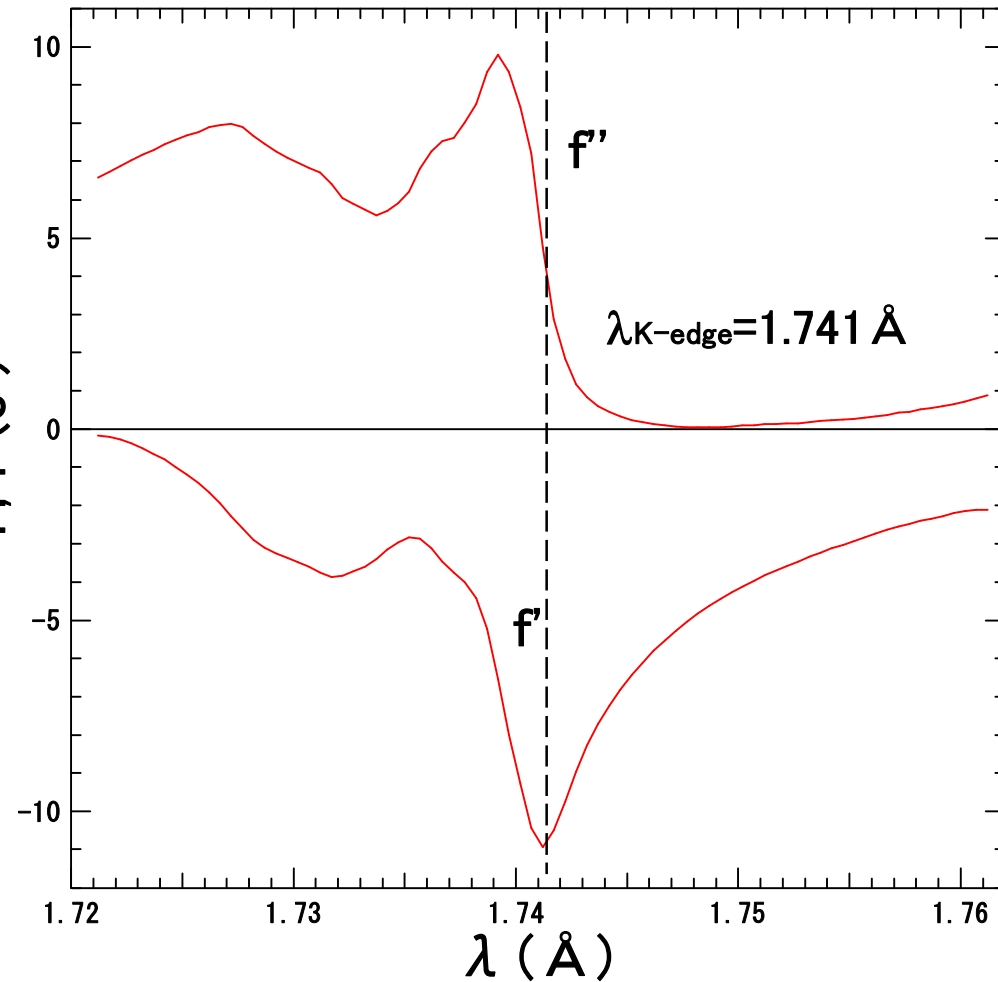


フェリチン中の鉄原子(Fe^{2+})の異常分散因子

フェリチン2%溶液の
X線吸収スペクトルから

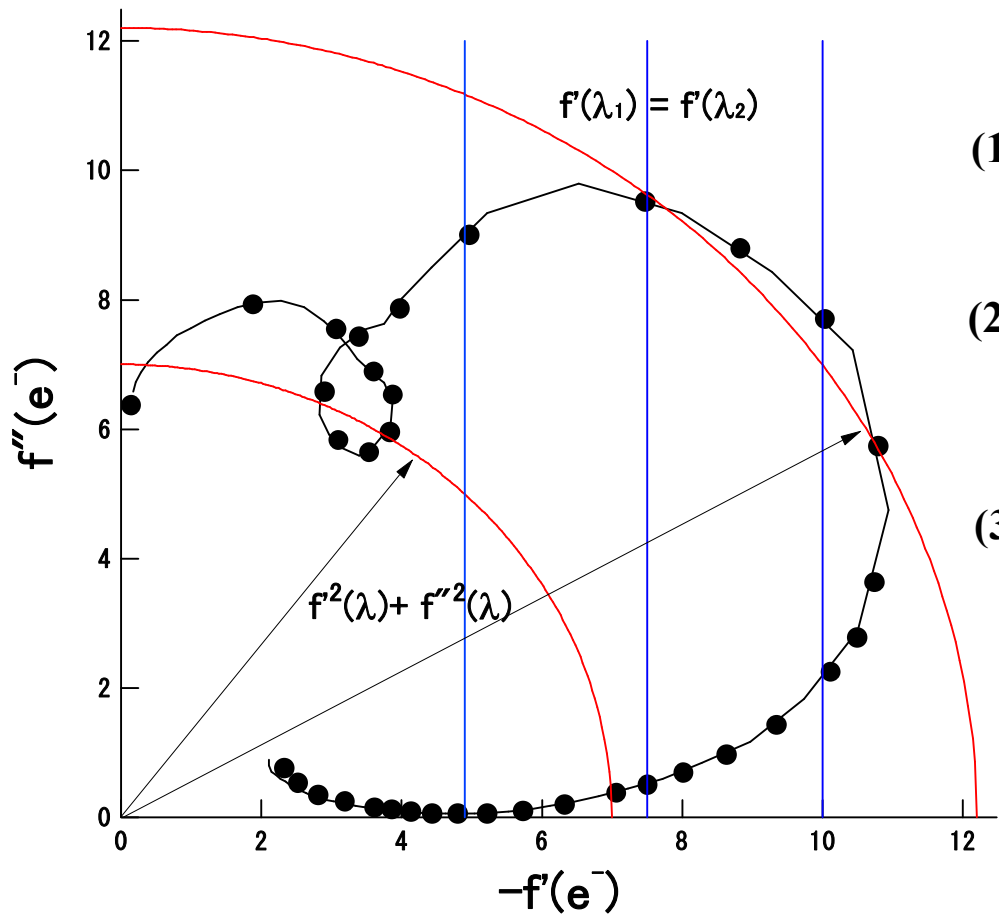


Kramers-Kronig
relation



散乱強度関数のdecomposition

$$I(\lambda, S) = I_0(S) + f'(\lambda)I_{0a}(S) + (f'^2(\lambda) + f''^2(\lambda))I_a(S)$$



(1) $\lambda \neq \lambda_{\text{anomalous}}$
 $I(\lambda, S) = I_0(S)$

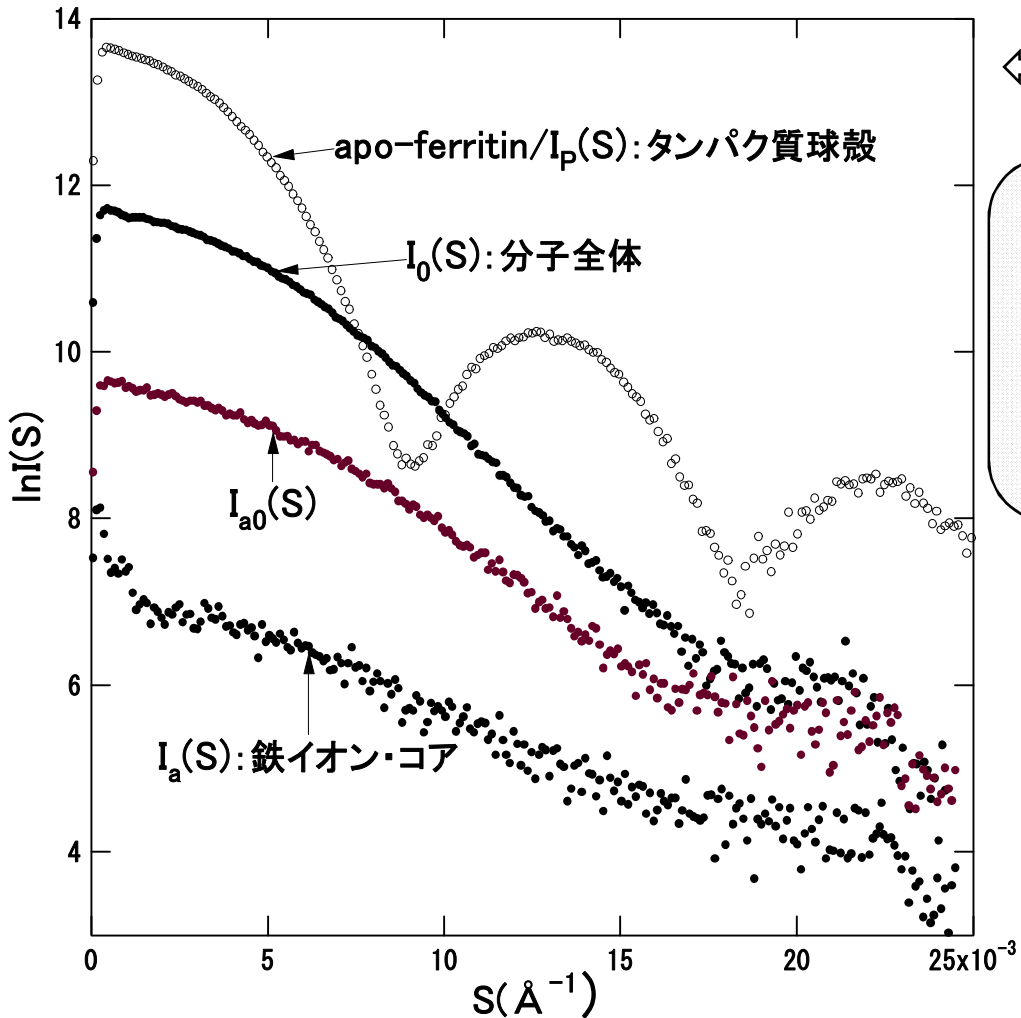
(2) $f'^2(\lambda_k) + f''^2(\lambda_k) = f'^2(\lambda_l) + f''^2(\lambda_l)$
 $I(\lambda_k, S) - I(\lambda_l, S) = (f'(\lambda_k) - f'(\lambda_l)) I_{0a}(S)$
 $\Rightarrow I_{0a}(S)$

(3) $f'(\lambda_i) = f'(\lambda_j)$
 $I(\lambda_i, S) - I(\lambda_j, S) = (f''^2(\lambda_i) - f''^2(\lambda_j)) I_a(S)$
 $\Rightarrow I_a(S)$

●	SAXS測定
—	吸収スペクトル測定

散乱強度曲線のdecomposition

— 結果 —



⇒ 約1300個の鉄原子を含む
フェリチンの例

$$I_{0a}(S) = (I_0(0)I_a(0))^{1/2} \cdot \exp\left[-\frac{4}{6}\pi^2 S^2(R_0^2 + R_a^2)\right]$$

$$\ln I_{0a}(S) = -\frac{4}{6}\pi^2(R_0^2 + R_a^2) \cdot S^2 + \frac{1}{2}\ln I_0(0)I_a(0)$$

分子全体の慣性半径 $R_0 = 40.9 \text{ \AA}$



鉄イオンコアの慣性半径 $R_a = 27.7 \text{ \AA}$



球と仮定すると
コアの大きさ ≈ 71 \AA

